1. Багдасарян А. Б. Природно-ландшафтные почса и физико-географические районы. Атлас Армянской ССР. Ереван-Москва:, 1931, 56 с.

2. Гвоздецкий Н. А. Карты физико-географического районпрования в региональных

атласах —Вест. МГУ, сер. геогр., 1968, № 1. с. 51 -56.

3. Гвоздецкий Н. А. Ландшафтная карта и схема физико-географического районирования Закавказья—В кн.: Ландш. картир. и физ. геогр. районирование горных областей. М. Изд. МГУ, 1972, с. 97—118.

4. Исаченко А. Г. Основы ландшафтозедения и физико-географическое районироза-

ние. М.: Изд. Высшая школа. 1965. 327 с.

5. Исаченко А. Г. Задачи географии в области разработки научных основ регионального использования природной среды.—Плв. ВГО, 1980, вып. 2, с. 101—111. 6. Федина А. Е. Физко-географическое рабонирование. М.: Изд. МГУ, 1981. 128 г.

Известия АН АрмССР, Науки о Земле, ХL, № 1, 56-59, 1987

КРАТКИЕ СООБЩЕНИЯ

УДК: 552.12:549

Р. В. АКОПЯН, Р. С. МЕЖЛУМЯН, Н. С. ПАЛБАНДЯН, Л. Г. ГЕВОНДЯН СИНТЕЗ И ИССЛЕДОВАНИЕ КУБИЧЕСКОГО ЦЕОЛИТА «Р»

Проведен ряд экспериментов по получению цеолита гидротер-мально-щелочной обработкой кислого вулканического стекла-перлита.

В процессе гидротермально-щелочной обработки перлита вначале образуется трисиликат, затем метасиликат натрии и нерастворимый осадок в виде гидроалюмосиликата—цеолита [2]. Кристаллизация цеолита происходит в широком температурном интервале—от 50 до 150°C, содержание его зависит от степени выщелачивания кремнезема из породы. При низкой температуре (50°C) и малой экспозиции (2 ч) кремнезем выщелачивается в незначительном количестве, и осадок характеризуется аморфной структурой. С повышением температуры содержание кремнезема в осадке уменьшается и вместе с тем увеличивается количество кристаллизующейся фазы. На степень выщелачивания кремнезема влияет не только температурный фактор, но и концентрация шелочного растворя и продолжительность его воздействия на породу. Цеолит получен в осадках с содержанием кремнезема от 43 до 63%.

Синтезированный цеолит исследовался рентгенографическим, термографическим, петрографическим и ИК-спектроскопическим

методами.

Под микроскопом в иммерсионных препаратах он характеризуется более или менее изометричными или округлыми изотропными зернами с $N=1.425\pm0.002$, что свидетельствует о кубической структуре минерала.

Рентгенографическим анализом установлена принадлежность синтезированного минерала к цеолиту «Рс». В табл. 1 приводятся результаты рентгенографического анализа синтезированного цеолита

и цеолита «Рс» по [1].

Дифференциальные кривые нагревания образцов перлита, обраобтанных щелочью при 50 С в течение 2-х часов независимо от концентрации щелочного раствора, аналогичны кривым ДТА необработанного перлига. Дегидратация происходит постепенно и заканчивается при 620 С, потеря при прокаливании составляет 2,6—2,7%.

После сорокачасовой обработки образцов щелочным раствором на кривой ДТА наблюдается довольно интенсивный эндотермический эффект с максимумом при 180 С, характерный для дегидратации пеолитов и продолжающийся до 280 С. На этот этап приходится 5,1%

потери веса, что составляет половину общего количества п. п. п. Судя по характеру кривой потери веса дегидратация происходит плавно. С повышением температуры и увеличением степени выщелачивания кремнезема потеря веса возрастает. После щелочной обработки при 100°С и длительности процесса в течение 2-х часов потеря веса составляет 10,2%, при этом большая часть цеолитной воды уходит до 260°C, составляя 5,9%. При температуре 150°C осадки характеризуются большей потерей веса. На дифференциальных кривых нагревания этих образцов наблюдается более интенсивный эндотермический эффект с максимумом от 190°C до 210°C. Процесс дегидратации в этих образцах заканчивается в интервале 420-460°C. При этой температуре исследовано влияние отношения абсолютного количества щелочи в растворе к кремнезему породы $(R_2O/SiO_2=c)$ на степень выщелачивания SiO₂ и кристаллизацию осадков. Значение с при этом менялось от 0,1 до 0,8 при одинаковой навеске перлита. Исследования показали, что с увеличением значения с отношение Si/Al в осадках уменьшается. Потеря веса при этом с возрастаннем значення c возрастает от 13% при c = 0,1 до 13,1% при c = 0,8.

Рентгенографическая характеристика Таблица 1

Сингезированный сеолиг		Цеолиг "Рс" по Бреку [2]	
1	d/n	J	d/n
5	7,10	55	7.1
4	5,00	35	5.01
4	4.69	55	4.10
10	3.18	100	3.16
5	2.(83	55	2.67
1	2.36	7	2.36
1	1.969	10	1,965
1	1,773	7	1,771
1	1.721	7	1.719
	1.669	7	1,667

На кривых ДТА с высоким содержанием кристаллической фазы фит спруется экзотермический эффект при 790°С. Интенсивность этого эффекта зависит от степени дегидратации образца, т. е. от количества цеолита.

Рентгенографический анализ образца, прокаленного при 800°С, показал наличие полевого шпата в качестве основной фазы, что свидетельствует о переходе кубического цеолита «Р» в полевой шпат.

С целью выявления структурных изменений проведены ИКспектроскопические исследования синтезированного цеолита (рис.1). ИК-спектры сняты на приборе Specord—75 IR в диапазоне волновых чисел от 400 до 4000 см⁻¹. Использовались порошковые препараты,

приготовленные обычным методом суспензии.

При расшифровке части спектров поглощения группы ОН выявлена полоса в области 1550—1670 см 1, соответствующая деформационным колебаниям молекул H_2O . Указанная полоса в необработанном перлите и в образцах, обработанных при 50°С в течение 2 ч очень маленькая и нечеткая. При продолжительности щелочной обработки в течение 40 ч при 50°С она выражена более отчетливо. С повышением температуры до 100°С и 150°С, но при щелочной обработке в течение 2 ч полоса деформационных колебаний H_2O становится интенсивнее. Кроме этого, на ИК-спектрах всех образцов наблюдается полоса поглощения, характеризующая валентные колебания ОН-групп молекул H_2O (3100—3200 см 1 и 3200—3450 см 1), а также ОН-ионов (3450—3650 см 1), связанных с катионами [3].

Характерно, что в перлите, а также в образцах, обработанных при 50°C в течение 2-х часов, полоса поглощения в области 3100—3200 см 1 несколько выделяется от остальной части спектра области 3100—3650 см 1, хотя она характеризуется слабой интенсивностью. Одновременно полоса поглощения 3100—3650 см 1 для этих образцов отличается некоторой асимметричностью. С увеличением степени выщелачивания кремнезема все 3 области (3100—3200 см 1, 3200—3450 см 1 и 3450—3650 см 1) постепенно сливаются, приобретая корытообразную форму. Одновременно эта полоса поглощения становится более интенсивной.

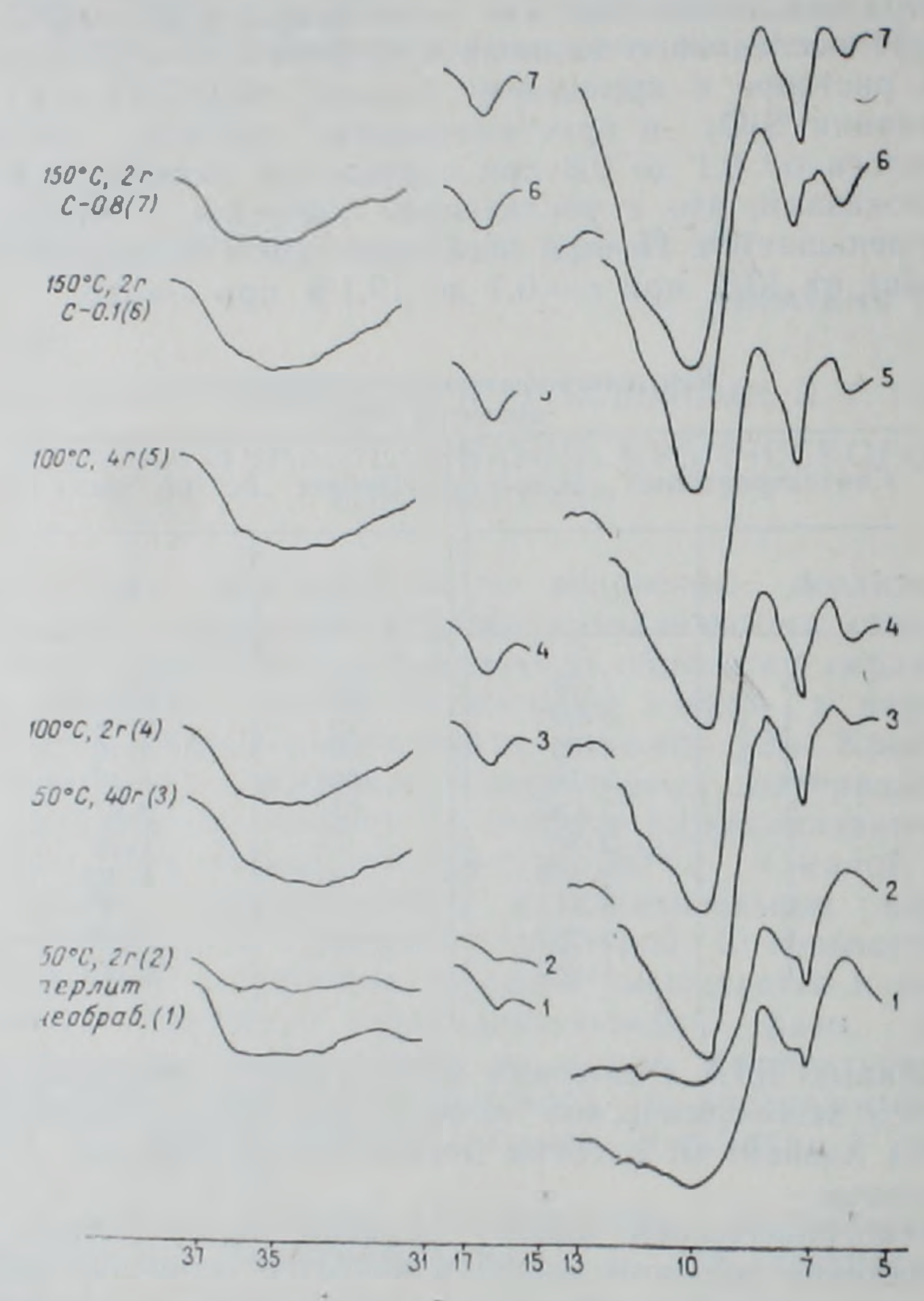


Рис. 1. ИК-спектры обработанных образцов перлита.

Наличие областей поглощения валентных и деформационных колебаний свидетельствует о том, что и в природном перлите, и в образцах, подвергнутых щелочной обработке, присутствуют молекулы H_2O и OH-группы, однако с изменением количества кремнезема в осадке, т. е. с изменением количества кристаллической фа-

зы форма и разрешаемость полосы поглощения меняются.

На ИК-спектрах образцов, прошедших гидротермально-щелочную обработку и содержащих в том или ином количестве кристаллическую фазу, появляется новая небольшая полоса поглощения в области 500—600 см⁻¹, связанная с наличием сдвоенных колец в каркасе кристаллической структуры цеолитов. Возникновение новой полосы поглощения в спектрах обработанных образцов является свидетельством начала упорядочения структуры в стекле, т. е. начала процесса кристаллизации. С увеличением степени упорядо-

ченности структуры эта полоса поглощения становится более ин-

тенсивной и имеет максимум при 560 см

Следующая полоса с максимумом при 695 см⁻¹ характеризует колебание связей внутри тетраэдров ТО₄. С упорядочением структуры кристаллической решетки она становится уже и лучше очерченной, а с увеличением содержания кристаллической фазы увеличивается ее интенсивность.

Спектры всех образцов характеризуются широкими фундаментальными полосами в области 800-1200 см⁻¹, основной максимум которых наблюдается при 1000 см⁻¹ у перлита и при 940-950 см⁻¹ в остальных образцах. Эта область колебаний характерна для материалов с высоким содержанием щелочей и приписывается валентным колебаниям кремне- и алюмокремнекислородных тетраэдров. Характер этой полосы поглощения у природных перлитов и обработанных, но сохранивших аморфную структуру аналогичен и заметно отличается от крисгаллических образцов. У аморфных образцов эта полоса широкая, неглубокая, асимметричная. С упорядочением структуры, в особенности с увеличением концентрации Na_2O в растворе, эта область поглощения становится все четче и интенсивнее и максимум ее смещается в сторону более низких частот (950 см⁻¹). Последнее обстоятельство, очевидно, связано с замещением Si^{4+} алюминием и увеличением длины связи Al-O.

Таким образом, в процессе гидротермально-щелочной обработки перлита некоторые области на ИК-спектрах претерпевают значительные изменения, связанные с преобразованием «ближнего порядка» в «дальний порядок» и с усовершенствованием кристаллическо-

го каркаса цеолита.

Научно-производственное объединение «Камень и силикаты»

Поступила 3 VI.1986.

ЛИТЕРАТУРА

1. Брек Д. Цеодитовые молекулярные сита. М. Химия, 1976. 781 с.

2. Мелконян Г. С. Гидротермальный способ приготовления комплексного стекольного сырья «Каназит» на основе горных пород и продуктов их переработки. Еревал Пзд. Айастан, 1977, 232 с

3. Паледкин В. В. Петрогенезие кислых вулканитов. М.: Паука, 1975. 206 с.

Известия АН АрмССР, Науки о Земле, XL, № 1, 59-63, 1987

КРАТКИЕ СООБЩЕНИЯ

УДК 550.837

А. К. МАТЕВОСЯН

СПОСОБ ИЗМЕРЕНИЯ ВЫСШИХ ПРОИЗВОДНЫХ ПЕРЕХОДНОЙ ХАРАКТЕРИСТИКИ ВЫЗВАННОЙ ПОЛЯРИЗАЦИИ

В настоящее время при проведении электроразведочных наблюдений большое место уделяется изучению дифференциальных параметров электрических полей [1, 2, 5]. Это достигается как путем использования различных разновидностей установок, так и при изучении переходных процессов в горных породах за определенные промежутки времени. При исследовании вторычного электрического поля (поля вызванной поляризации) измеряется как переходная характеристика вызванной поляризации (ПХ ВП), так и ее производная